

ДРЕЙФОВАЯ СКОРОСТЬ ДЛЯ АКУСТИЧЕСКИХ ПОЛЯРОНОВ В ОДНОМЕРНЫХ ПРОВОДНИКАХ

А.А.Гоголин

Вычислена дрейфовая скорость $v_0(E)$ для акустического полярона с сильной связью в одномерной полимерной цепочке. Рассмотрены предельные случаи низких и высоких температур. В зависимости $v_0(E)$ имеется характерное насыщение в сильных полях вблизи скорости звука s . Такое поведение дрейфовой скорости наблюдалось недавно в полиди-ацетилене PDA⁵.

Основными носителями тока в одномерных полимерных цепях являются поляроны^{1, 2}, образующиеся за счет сильного взаимодействия электронов с одномерными акустическими фононами³. Деформационное взаимодействие, линейное по фононным координатам Q_k , в единицах $m = \hbar = s = 1$ описывается гамильтонианом:

$$H = \sum_k Q_k \left(V_k e^{ikx} + \frac{1}{2} k^2 Q_{-k} \right) - \frac{1}{2} \frac{\partial^2}{\partial x^2}, \quad V_k = Dk(2M_1)^{-1/2} = k(\alpha\omega_1)^{1/2}. \quad (1)$$

Здесь m — масса электрона, s — скорость звука, D — деформационный потенциал, M_1 — масса элементарной ячейки, $\omega_1 = 2s/a$ (a — постоянная решетки). Безразмерная константа сильной связи $\alpha = D^2 / 2M_1\omega_1 \gg 1$ в случае полиацетилена $(\text{CH})_X$ равна 4 ($D = 3$ эВ, $s = 10^6$ см/с, $a = 1,4$ Å, $M_1 = 13$ ат. ед.⁴), а в случае полиди-ацетилена PDA она равна 12 ($D = 3,7$ эВ, $s = 3,6 \cdot 10^5$ см/с, $a = 4,9$ Å, $M_1 = 420$ ат. ед.⁵).

Спектр $\epsilon(p)$ для акустического полярона с сильной связью при скорости $v \sim 1$ определяется классическим минимумом H в движущейся со скоростью v системе отсчета⁶:

$$\epsilon = J + pv, \quad p = M^*v, \quad J = J_1 + J_2, \quad (2)$$

где J_1, J_2 и M^* определяются волновой функцией основного состояния $\psi_0(x)$ для электрона в поляронной яме:

$$2J_1 = \int dx (\partial\psi_0/\partial x)^2, \quad 2J_2 = w(v^2 - 1)^{-1}, \quad M^* = w(1 - v^2)^{-2}, \quad w = 2\alpha \int dx \psi_0^4(x). \quad (3)$$

Уровни электрона в яме $\tilde{\epsilon}_n$ и его волновые функции $\psi_n(\xi)$ в безразмерных единицах введенных через перенормированную константу связи $\tilde{\alpha} = \alpha(1-v^2)^{-1} = 1$, имеют вид ⁷⁻¹³

$$\psi_0(\xi) = (\sqrt{2\text{ch}\xi})^{-1}, \quad \tilde{\epsilon}_0 = -1, \quad \psi_{\tilde{q}}(\xi) = e^{i\tilde{q}\xi} (\text{th}\xi - i\tilde{q}) / (1 - i\tilde{q}), \quad \tilde{\epsilon}_{\tilde{q}} = \tilde{q}^2. \quad (4)$$

Здесь $\psi_0(\xi)$ – волновая функция основного состояния Рашба – Холстейна ^{7, 8}, $\psi_{\tilde{q}}(\xi)$ – волновые функции непрерывного спектра, где $\xi = x/\tilde{\alpha}$, а энергия $\epsilon_{\tilde{q}}$ измеряется в единицах $\tilde{\alpha}^2 ms^2$.

Величины $J = -\tilde{\alpha}^2/6$ и $M^* = -2\partial J/\partial v^2$ ⁹ определяют спектр полярона $\epsilon(p)$ и его асимптотическое поведение на больших импульсах $p \gg \alpha^2$:

$$\epsilon(p) \approx p \left(1 - \frac{3}{4} (2\alpha^2/3p)^{1/3} \right), \quad v(p) \approx 1 - \frac{1}{2} (2\alpha^2/3p)^{1/3}. \quad (5)$$

Поэтому выход на асимптотическое значение $v = 1$ при $p \rightarrow \infty$ происходит в этом случае гораздо медленнее, чем, например, для пьезополярона ⁶.

Для вычисления подвижности μ воспользуемся общим методом Воловика и Эдельштейна ¹⁴ для пьезополярона с сильной связью. Этот метод использовался также для вычисления подвижности обычного полярона ^{14, 15}. Другой способ вывода уравнений для μ в случае обычного полярона был предложен Мельниковым и Воловиком ¹⁶. При $v \sim 1$ перейдем в движущуюся со скоростью v систему отсчета, что приводит к доплеровскому сдвигу фоновых частот $\omega_k = |k| \rightarrow \tilde{\omega}_k = \omega_k - kv$. Воспользуемся затем общим формализмом ¹⁴, основанным на преобразованиях Боголюбова – Тябликова ¹⁷ и Ли – Лоу – Пайнса ¹⁸. Подвижность μ при температурах фононного термостата $T \ll \alpha^2$ описывается уравнением Фоккера – Планка (ФП):

$$eE \partial f / \partial p = \frac{\partial}{\partial p} (Af + B(\partial f / \partial p)), \quad A = Bv/T. \quad (6)$$

Коэффициент B выражается через амплитуду двухфононного рассеяния $W_{kk'}$ и планковские числа заполнения фононов N_k ¹⁴⁻¹⁶:

$$B = \pi \sum_{k, k'} N_k (N_{k'} + 1) |W_{kk'}|^2 (k - k')^2 \delta(\tilde{\omega}_k - \tilde{\omega}_{k'}), \quad \tilde{\omega}_k = \omega_k - kv. \quad (7)$$

Величины $W_{kk'}$ удовлетворяют уравнению для рассеяния фононов на тяжелой частице ¹⁴⁻¹⁶ с учетом доплеровского сдвига (7):

$$W_{kk'} = V_{kk'} - \sum_{k''} V_{kk''} D_{k''k'} W_{k''k'}, \quad D_{kk'} = 2\tilde{\omega}_k / (\tilde{\omega}_k^2 - \tilde{\omega}_{k'}^2 + i\delta), \quad (8)$$

$$\begin{aligned} (\tilde{\omega}_k \tilde{\omega}_{-k'})^{1/2} V_{kk'} &= \sum_q v_{0q}(k) v_{q0}(-k') (\epsilon_0 - \epsilon_q)^{-1}, \quad v_{0q}(k) = V_k \int dx \psi_0^*(x) e^{ikx} \psi_q(x) = \\ &= \frac{i\pi 2^{-1/2} \tilde{k} V_k}{(1 - i\tilde{q}) \text{ch}(\frac{\pi}{2}(\tilde{k} + \tilde{q}))}. \end{aligned} \quad (9)$$

Поле $E \sim E_0 \sim \alpha^2/el \ll \alpha^2/e\tilde{\alpha}$, где $\tilde{\alpha} \sim \alpha^{-1}$ – размер полярона, а $l \sim T^2/Bv$ – длина его свободного пробега. Поэтому оно не вызывает возбуждения электрона в яме и лишь разгоняет полярон до скоростей $v \sim 1$, не приводя к его разрушению. Большая энергия полярона $\epsilon \sim \alpha^2 \gg v/l$ улучшает критерии применимости кинетического уравнения ⁶. Условие $T \ll \alpha^2$ обеспечивает малость тепловых фононных импульсов $k \sim T \ll p \sim \epsilon$, необходимую для справедливости ФП разложения ⁶.

При низких температурах $T \ll \alpha$ уравнение ⁸ решается с помощью общего метода ¹⁴ путем разложения по $k, k' \sim T \ll k'' \sim \alpha$ и использования известных тождеств для $V_{kk'}$ ^{14, 17}. Окончательные выражения для $W_{kk'}$ и B :

$$W_{kk'} = V_k V_{-k'} k k' (M^*)^{-1} (\tilde{\omega}_k \tilde{\omega}_{-k'})^{-3/2}, \quad B = B_0(T) A_0 \varphi_0(v), \quad B_0(T) = T^5/\alpha^2, \quad (10)$$

$$A_0 = \frac{3}{5} (2\pi)^3, \quad \varphi_0(v) = \varphi(v) + \varphi(-v), \quad \varphi(v) = \frac{15}{\pi^4} (1+v)^3 \chi_0 \int_0^\infty \frac{k^2 dk \exp(k(\chi_0 - 1))}{\text{sh } k \text{ sh } k \chi_0}, \quad (11)$$

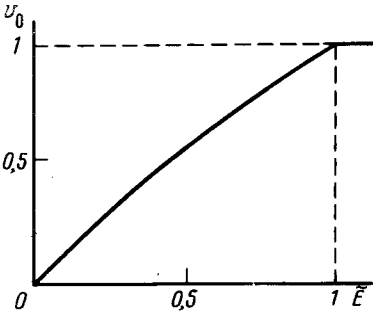
$$\chi_0 = \frac{1-v}{1+v}.$$

Общее решение $f(p)$ для уравнения ФП (6) и выражение для дрейфовой скорости $v_0(E)$ имеют вид

$$\ln f(p) = -T^{-1} \epsilon(p) + eE \int_0^p dp' B(p'), \quad v_0 = C_0^{-1} \int dp v(p) f(p), \quad C_0 = \int dp f(p). \quad (12)$$

Из него следует, что при $T \ll \epsilon$ и $E \sim E_0 = A_0 B_0(T)/eT$ величина v_0 определяется экстремумом $\ln f(p)$ и удовлетворяет уравнению

$$v_0 \varphi_0(v_0) = \tilde{E}, \quad \tilde{E} = E/E_0, \quad E_0 = A_0 B_0(T)/eT. \quad (13)$$



Зависимость дрейфовой скорости акустического полярона v_0 от поля $\tilde{E} = E/E_0$ при низких температурах

График зависимости $v_0(\tilde{E})$ изображен на рисунке. При $\tilde{E} < 1$ зависимость $v_0(\tilde{E})$ почти линейна и определяет подвижность $\mu = s/E_0$, а при $\tilde{E} \geq 1$ величина $v_0(\tilde{E}) = 1$ постоянна. Это следует из выражения (12) для v_0 , в котором при $\tilde{E} \geq 1$ возникает расходимость интегралов по p при $p \rightarrow \infty$. В реальных системах она обрезается вблизи бриллюэновского импульса $k_0 \sim a^{-1} \gg \alpha^2$, так что $v_0(\tilde{E}) \approx v(k_0) < 1$ (5) и может не достигать 1. При $E \geq 1$ импульс $p \approx k_0$ и система не описывается уже континуальной моделью, поэтому наши результаты в этой области полей носят лишь качественный характер. Отметим, что при $\tilde{E} \geq 1$ полярон начинает чувствовать конечность ширины зоны и величина $v_0(\tilde{E})$ может начать уменьшаться¹⁹.

В области более высоких температур $\alpha \ll T \ll \alpha^2$ интегральный член в уравнении (8) мал по параметру $\alpha/T \ll 1$ и поэтому $W_{kk'} = V_{kk'}$. В этом случае $B_0(T) = T^2 \alpha$, $A_0 = 1,14$, $\varphi_0(v) = (1-v)$ при $(1-v) \gg \alpha/T$. Из уравнений (12), (13) при этом следует, что $v_0(\tilde{E}) = 1$ при всех $\tilde{E} > \alpha/T = \tilde{E}_1$. Отметим, что и в этом случае характерные $p \approx k_0$, поскольку в интегралах (12) возникает расходимость на больших p . В такой ситуации

$$v_0(\tilde{E}) \approx v(k_0) < 1 \text{ при } \tilde{E} \gtrsim \tilde{E}_1 \text{ и } (1-v) \gtrsim \alpha/T.$$

Такой эффект наблюдался недавно Донованом и Уилсоном в PDA⁵ при комнатной температуре. В этих экспериментах было обнаружено примерное постоянство величины $v_0 = 0,715$ в широком интервале полей $E \sim 1 - 10^4$ В/см. Наша оценка поля $E_1 \sim s(\alpha m s)^2 / e \hbar \sim 10$ В/см при $\alpha \sim 10$, $s \sim 10^5$ см/с и $m \sim 0,1 m_0$ (m_0 — масса свободного электрона)⁵ согласуется с этими результатами. Величина $v_0 = 0,715$ ⁵ дает при этом согласно формуле (5) при $p = k_0$ весьма разумное значение $k_0 = 0,8$ от стандартной величины π/a .

Заклучение отметим, что некоторые качественные оценки подвижности μ в слабых полях при малых скоростях $v \ll 1$ были сделаны недавно Шюттлером и Холстейном¹². В области слабых полей их оценки согласуются с нашими результатами. Попытка вычисления за-

висимости $v_0(E)$ в области сильных полей была предпринята Уилсоном ¹¹. Однако, из-за ряда произвольных допущений и отдельных неточностей правильное выражение для этой величины в ¹¹ получено не было.

Автор выражает благодарность С.А.Бразовскому, Г.Е.Воловику и Э.И.Рашба за полезное обсуждение результатов работы.

Литература

1. *Su W.P., Schrieffer J.R., Heeger A.J.* Phys. Rev. Lett., 1979, **42**, 1698; Phys. Rev., 1980, **B22**, 2099.
2. *Бразовский С.А.* ЖЭТФ, 1980, **78**, 677; *Бразовский С.А., Кирова Н.Н.* Письма в ЖЭТФ, 1981, **33**, 6.
3. *Moses D., Denenstain A., Pron A., Heeger A.J., MacDiarmid A.G.* Solid State Comm., 1980, **36**, 219.
4. *Mele E.J., Rice M.J.* Phys. Rev. Lett., 1980, **45**, 926.
5. *Donovan K.J., Wilson E.G.* J. Phys. C, 1985, **18**, L51; Phil. Mag., 1981, **B44**, 9, 31.
6. *Воловик Г.Е., Эдельштейн В.М.* ЖЭТФ, 1974, **67**, 273.
7. *Рашба Э.И.* Оптика и спектроскопия, 1957, **2**, 88.
8. *Holstein T.* Ann. Phys., 1959, **8**, 325, 343.
9. *Whitfield G., Shaw P.V.* Phys. Rev., 1976, **B14**, 3346.
10. *Давыдов А.С.* УФН, 1982, **138**, 603.
11. *Wilson E.G.* J. Phys. C, 1983, **16**, 6739.
12. *Schüttler H.V., Holstein T.* Phys. Rev. Lett., 1983, **51**, 2337.
13. *Мельников В.И.* ЖЭТФ, 1977, **72**, 2345.
14. *Воловик Г.Е., Эдельштейн В.М.* ЖЭТФ, 1973, **65**, 1947.
15. *Воловик Г.Е., Мельников В.И., Эдельштейн В.М.* Письма в ЖЭТФ, 1973, **18**, 138.
16. *Мельников В.И., Воловик Г.Е.* ЖЭТФ, 1973, **65**, 1637.
17. *Боголюбов Н.Н.* Укр. матем. журнал, 1950, **2**, 3; *Тябликов С.В.* ЖЭТФ, 1951, **21**, 377.
18. *Lee T.D., Low F.E., Pines D.* Phys. Rev., 1953, **90**, 297.
19. *Гоголин А.А.* Письма в ЖЭТФ, 1980, **32**, 30; ЖЭТФ, 1985, **88**, 2063.